

平面图的拓扑结构与着色数

杨本立

摘要：定义平面图的剖分圆子图，定义极大平面图的生成子图，定义 n 点极大平面图的 $n+1$ 点增生极大平面图，分析平面图的拓扑结构；用数学归纳法证明任一 $n(n \geq 3)$ 点平面图都可以生成一个 n 点极大平面图，用反向归纳法证明 $n(n \geq 3)$ 点极大平面图的着色数不小于 3 且不大于 4；给出平面图四色定理的一个非人机合作方式证明方法。

关键词：平面图，剖分圆，极大平面图，生成子图，增生极大平面图，数学归纳法，四色定理

中图分类号：0157, 0157.5；文献标识码：A

稿件联系人：杨蜀颖

1 前言

平面图四色定理的非人机合作方式证明是尚未解决的世纪数学难题。

本文只讨论简单有限连通平面图，图中任两条边除端点外均不相交。

文中未加定义的名词术语、直接引用的结论等均源自一般图论教材。

2 平面图的拓扑结构

用 V 表示图 G 中结点的集合, E 表示图 G 中边的集合, 记 $G=G(V, E)$. 用 $|A|$ 表示集合 A 中元素个数, $e_i^j=(v_i, v_j)$ ($i \neq j, v_i, v_j \in V$) 表示图 G 中邻接结点 v_i 和 v_j 的边, 在避免错乱时记 $e_i^j=e_{v_i}^{v_j}$. 用 $\deg(V)$ 表示图 G 中结点度数之和, $\deg(S)$ 表示图 G 中面的次数之和。

设有图 $G_1=G_1(V_1, E_1)$ 和图 $G_2=G_2(V_2, E_2)$, 当且仅当 $V_1=V_2$ 及 $E_1=E_2$ 时, 称图 G_1 和图 G_2 是同构的, 记作 $G_1=G_2$.

预备定理 对 $|V|$ 个结点、 $|E|$ 条边、 $|S|$ 个面的平面图 $G=G(V, E)$ ，有下列结论成立。

(1) $|V| + |S| = |E| + 2$ (Eular 公式)。

(2) $|E| = \frac{1}{2}\deg(V) = \frac{1}{2}\deg(S)$ 。

(3) 图 G 中奇数度数结点的个数之和 k 为偶数，即 $k \bmod(2) = 0$ 。

(4) 若 $|V| \geq 3$ ，则 $|E| \leq 3|V| - 6$ 。

(5) 存在结点 $u \in V$ 使得 $1 \leq \deg(u) \leq 5$ 。

(6) 当且仅当图 G 中不包含 $k_{3,3}$ 图或 k_5 图在2度结点内同构的子图时，图 G 是平面图。(kuratowski 定理)。

前面已约定， G 是简单有限连通平面图。

定义 2.1 设 $G=G(V, E)$ 是 $|V|$ 点平面图， $v_0 \in V$ ， $\deg(v_0)=k$ 。记 v_0 及其邻接结点的集合 $\{v_0, v_1, v_2, \dots, v_k\}$ 为 Vv_0 ，记 Vv_0 中结点之间邻接边的集合为 Ev_0 。

(1) 称图 $\theta v_0 = \theta v_0(Vv_0, Ev_0)$ 为图 G 中以 v_0 为圆心的剖分圆子图 θv_0 或剖分圆 θv_0 。

(2) 称删去剖分圆 θv_0 的圆心 v_0 后的子图 $\bar{\theta} v_0 = \theta v_0 - \{v_0\}$ 为剖分圆 θv_0 的圆周子图 $\bar{\theta} v_0$ ，称 $\bar{\theta} v_0$ 中结点 $v_i (1 \leq i \leq k)$ 为 θv_0 的圆周结点。

(3) 当且仅当圆周子图 $\bar{\theta} v_0$ 中存在长度为 $k (k = \deg(v_0))$ 的简单回路

$L: v_1 v_2 \dots v_k v_1$ 时，称剖分圆 θv_0 为完形剖分圆，称回路 L 为 θv_0 的圆周回路。

(4) 当且仅当 θv_0 中每个面的次数均为3时称 θv_0 为极大剖分圆。

显然，平面图的任一剖分圆及其圆周子图均为平面图。

对结点 $u \in Vv_0$, 用 $\deg(u)$ 和 $\bar{\deg}(u)$ 分别表示结点 u 在图 G 和剖分圆 θv_0 中的度数。

定理 2.1 对图 $G=G(V, E)$ 中完形剖分圆 $\theta v_0 = \theta v_0(Vv_0, Ev_0)$, 有下列结论成立。

- (1) 对圆心结点 v_0 , $\bar{\deg}(v_0) = \deg(v_0)$ 且 $\deg(v_0) \geq 3$.
- (2) 对圆周结 $u \in Vv_0$, $3 \leq \bar{\deg}(u) \leq \deg(v_0)$ 且 $3 \leq \bar{\deg}(u) \leq \deg(u)$.
- (3) $2\deg(v_0) \leq |Ev_0| \leq 3(\deg(v_0)-1)$.
- (4) 极大剖分圆是完形剖分圆。
- (5) 对极大剖分圆 θv_0 , $|Ev_0| = 3(\deg(v_0)-1)$.
- (6) 若 $3 \leq \deg(v_0) \leq 5$, 则 θv_0 中存在圆周结点 u 使 $\bar{\deg}(u) = 3$.
- (7) 在 $3 \leq \deg(v_0) \leq 5$ 时, 极大剖分圆 θv_0 的拓扑结构是唯一确定的。

本文不讨论结论 (6) 和 (7) 推广至 $\deg(v_0) \geq 6$ 的情形。

仅证结论 (3)、(4)、(5)、(6)、(7)。

证明

(3) 完形剖分圆 θv_0 中有 1 个圆心结点 v_0 和 $\deg(v_0)$ 个圆周结点, 与圆心结点邻接的有 $\deg(v_0)$ 条边, 圆周回路 L 中有 $\deg(v_0)$ 条边, 所以 $|Ev_0| \geq 2\deg(v_0)$; 再由预备定理结论 (4), 有 $|Ev_0| \leq 3(\deg(v_0)+1)-6=3(\deg(v_0)-1)$. 结论 (3) 成立。

(4) 若极大剖分圆 θv_0 非完形剖分圆, 则其圆周子图 $\bar{\theta}v_0$ 中不存在长度为 $\deg(v_0)$ 的圆周回路 L , 从而 θv_0 中存在以 v_0 为一个边界点的次数大于 3 的面使 θv_0 非极大剖分圆。结论 (4) 成立。

(5) 记剖分圆 θv_0 中面的个数为 $|Sv_0|$. 由预备定理结论 (2), 有 $|Ev_0| = \frac{3}{2}|Sv_0|$, 代入 Euler 公式, 由 $|Vv_0| + \frac{2}{3}|Ev_0| = |Ev_0| + 2$ 解得 $|Ev_0| = 3|Vv_0| - 6 = 3(\deg(v_0) + 1) - 6 = 3(\deg(v_0) - 1)$. 结论 (5) 成立。

(6) 由结论 (3), 有 $2\deg(v_0) \leq |Ev_0| \leq 3(\deg(v_0) - 1)$. 若 θv_0 中圆周结点度数均大于 3, 当有 $|Ev_0| \geq \frac{1}{2}(\deg(v_0) + 4 - \deg(v_0)) = \frac{5}{2}\deg(v_0)$. 由 $\frac{5}{2}\deg(v_0) \leq 3(\deg(v_0) - 1)$ 得到 $\deg(v_0) \geq 6$, 与假设 $3 \leq \deg(v_0) \leq 5$ 矛盾。结论 (6) 成立。

(7) 据定理 2.1. (2), 设极大剖分圆 θv_0 中度数为 i ($3 \leq i \leq \deg(v_0)$) 的结点个数为 n_i , 用 u 表示 θv_0 的圆周结点。

讨论下面关系式:

$$n_3 \neq 0, \text{ (据定理 2.1. (6))}$$

$$(n_3 + n_5) \bmod (2) = 0, \text{ (据预备定理 (2))}$$

$$\sum_{i=3}^5 n_i = \deg(v_0) + 1, \text{ (据定理 2.1. (1))}$$

$$3 \leq \deg(u) \leq \deg(v_0), \text{ (据定理 2.1. (2))}$$

$$n_4 + 2n_5 = 3(\deg(v_0) - 3). \text{ (据 } \begin{cases} e = \frac{1}{2} \sum_{i=3}^5 i v_i = 3(\deg(v_0) - 1), \\ \sum_{i=3}^5 n_i = \deg(v_0) + 1. \end{cases})}$$

在 $\deg(v_0) = 3$ 时, 得到唯一解 $(n_3, n_4, n_5) = (4, 0, 0)$.

在 $\deg(v_0) = 4$ 时, 得到唯一解 $(n_3, n_4, n_5) = (2, 3, 0)$.

在 $\deg(v_0)=5$ 时: 如果 $n_3 \geq 3$, 则因圆周回路 L 的长度为 5, θv_0 的圆周结点中必然有互相邻接的结点 u 和 w 使得 $\bar{\deg}(u) = \bar{\deg}(w) = 3$, 从而圆周子图 $\bar{\theta} v_0$ 中必然有以 e_u^w 为一边的次数不小于 4 的面 S 使 θv_0 非极大剖分圆, 故 $1 \leq n_3 \leq 2$; 若 $n_3=1$, 令在圆周回路 $L: v_1 v_2 v_3 v_4 v_5 v_1$ 中 $\bar{\deg}(v_1)=3$, 便有 $\bar{\deg}(v_i) > 3$ ($i = 2, 3, 4, 5$), 使得 $\{v_1, v_3, v_4\}$ 中每一结点均须与 $\{v_0, v_2, v_5\}$ 中每一结点邻接, 从而图 θv_0 中包含有 $k_{3,3}$ 子图使 θv_0 不为平面图。所以 $n_3=2$, 得到唯一解 $(n_3, n_4, n_5) = (2, 2, 2)$ 。结论 (7) 成立。

综上述, 定理 2.1 成立。

定义 2.2 称每个面的次数均为 3 的平面图 $G=G(V, E)$ 为 $|V|$ 点极大平面图。

5 点极大平面图 G_1 和 G_2 的拓扑结构如图 2.1. (1) 和图 2.1. (2) 所示, $G_1 = G_2$ 。

6 点极大平面图 G_3 和 G_4 的拓扑结构如图 2.2. (1) 和图 2.2. (2) 所示, $G_3 \neq G_4$ 。

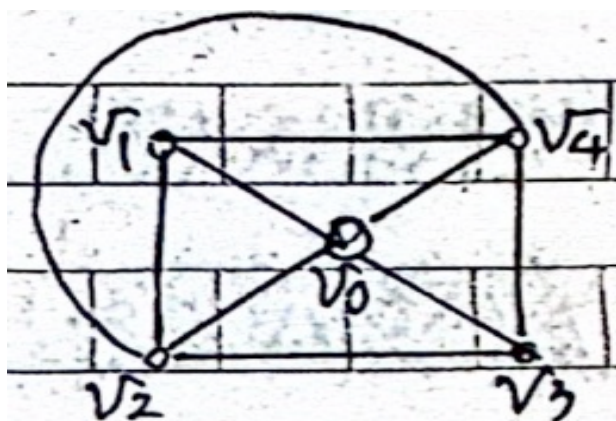


图 2.1. (1) 五点极大平面图 G_1

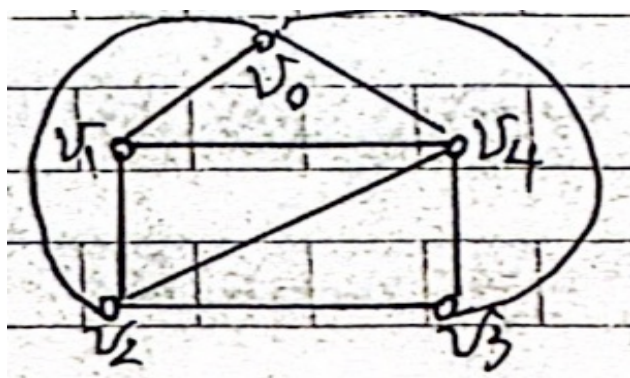


图 2.1. (2) 五点极大平面图 G_2

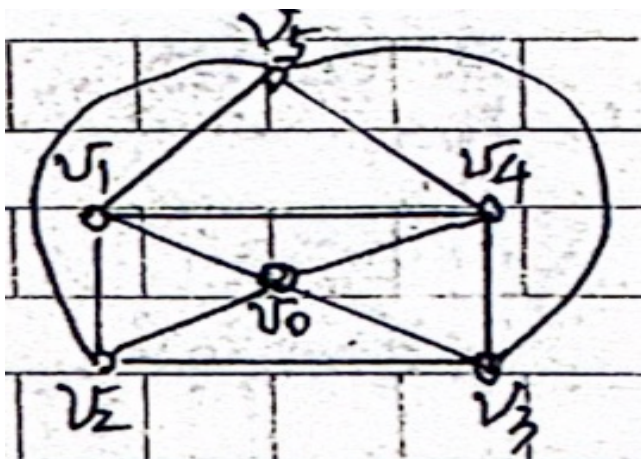


图 2.2. (1) 六点极大平面图 G_3

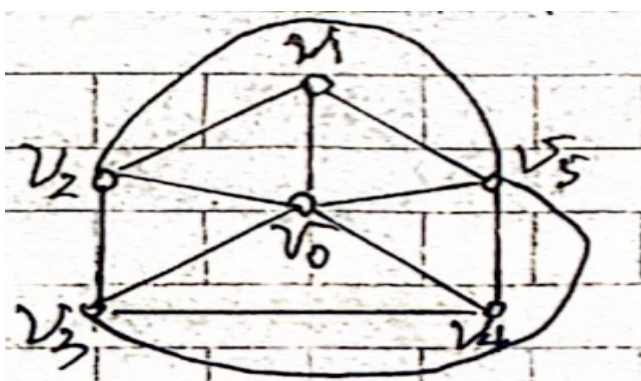


图 2.2. (2) 六点极大平面图 G_4

定理 2.2 对 $|V|$ ($|V| \geq 3$) 个结点、 $|E|$ 条边、 $|S|$ 个面的极大平面图 $G=G(V, E)$, 有下列结论成立。

$$(1) \quad |S| = \frac{2}{3}|E|.$$

$$(2) \quad |E| = 3|V| - 6.$$

(3) 若 $|V| > 3$, G 中剖分圆 θv_0 均为完形剖分圆。

(4) 若 $|V| > 3$, 对 G 中任一结点 u , $\deg(u) \geq 3$.

(5) 若 $|V| > 3$, 对 G 中任一边 $e_{v_2}^{v_1}$, G 中存在以 $e_{v_2}^{v_1}$ 为公共底边的面 $\Delta v_1 v_2 v_3$ 和 $\Delta v_1 v_2 v_4$ ($v_3 \neq v_4$) .

(6) 记 G 中度数为 i ($3 \leq i \leq \max$) 的结点的个数为 n_i , 有关系式 $3n_3 + 2n_4 + n_5 = \sum_{i=6}^{\max} (i - 6)n_i + 12$ 成立。

证明

(1) 由预备定理结论 (2), $|E| = \frac{1}{2} \deg(S) = \frac{3}{2}|S|$ 解得 $|S| = \frac{2}{3}|E|$.

(2) 将 $|S| = \frac{2}{3}|E|$ 代入 Euler 公式, 由 $|V| + \frac{2}{3}|E| = |E| + 2$ 及 $|V| \geq 3$, 得到 $|E| = 3|V| - 6$.

(3) 若存在结点 $v_0 \in V$ 使得 θv_0 非完形剖分圆, 图 G 中必存在以 v_0 为一个边界点的面 S_0 使得 $\deg(S_0) > 3$, G 非极大平面图。结论 (3) 成立。

(4) 若存在结点 $u \in V$ 使得 $\deg(u) < 3$, G 中必存在以 u 为一个边界点的面 S 使得 $\deg(S) > 3$, G 非极大平面图。结论 (4) 成立。

(5) 若其结论非真, 则 G 中必存在以 $e_{v_2}^{v_1}$ 为一条边的面 S 使得 $\deg(S) > 3$, G 非极大平面图。

(6) 由 $|E| = \frac{1}{2} \sum_{i=3}^{\max} i n_i = 3 \sum_{i=3}^{\max} n_i - 6$ 有 $\sum_{i=3}^{\max} i n_i = 6 \sum_{i=3}^{\max} n_i - 12$, 解得 $3n_3 + 2n_4 + n_5 = \sum_{i=6}^{\max} (i - 6)n_i + 12$.

綜上述, 定理 2.2 成立。

结论(6)还表明: 在 $n_3 + n_4 = 0$ 时, $n_5 = \sum_{i=6}^{\max} (i - 6)n_i + 12 \geq \sum_{i=7}^{\max} n_i + 12$.

定义 2.3 设 $|V_1|$ ($|V_1| \geq 3$) 点连通平面图 $G_1 = G_1(V_1, E_1)$ 是在极大平面图 $G = G(V, E)$ 中删去 e ($0 \leq e \leq 2|V| - 5$) 条边得到的子图。

(1) 称 G_1 是 G 的一个生成子图。

(2) 称 G 是 G_1 的一个生成极大平面图。

$|V|$ 点连通子图 G_1 的生成极大平面图 G 不必是唯一的。

$|V|$ 点连通子图 G_1 中最少有 $|V|-1$ 条边, 故有 $0 \leq e \leq 2|V|-5$. 因 $e \leq (3|V|-6) - (|V|-1) = 2|V|-5$.

在本文后面的叙述中: 对已经存在的边执行“添边”指令时空操作; 剖分圆圆周结点按圆周回路的逆时针方向排序。

定理 2.3 任一 $|V_1|$ ($|V_1| \geq 3$) 点连通平面图 $G_1 = G_1(V_1, E_1)$ 都存在生成极大平面图 $G = G(V, E)$.

证明

若 G_1 已是极大平面图, 结论自然成立。

下设 G_1 非极大平面图。对结点数用数学归纳法。

(1) 若 $|V_1| = 3$

对 G_1 中结点添加邻接边生成面 $\Delta v_1 v_2 v_3$ 得到极大平面 $G = G(\{v_1, v_2, v_3\}, \{e_1^2, e_2^3, e_3^1\}) = G(V, E)$.

(2) 设 $|V_1| = k$ 时结论成立。

(3) 对 $|V_1| = k+1$

任取 G_1 中度数最小的结点 u ($1 \leq \deg(u) \leq 5$). 分以下 5 种情形分别处理。

1) 若 $\deg(u) = 1$

记 u 的邻接结点为 w ，删去结点 u 得到图 G_1 ，用 G_1 生成 k 点极大平面图 G ；在 G 的剖分圆 θ_w 的任一面 Δwv_1v_2 内插入结点 u 并添边 $\{e_u^w, e_u^{v_1}, e_u^{v_2}\}$ 生成 $k+1$ 点极大平面图 G 。

2) 若 $\deg(u) = 2$

记 u 的邻接结点为 $\{v_1, v_2\}$ ，删去结点 u 并添边 e_1^2 得到图 G_1 ，用 G_1 生成 k 点极大平面图 G ；由定理 2.2. (5)，记 G 中以 e_1^2 为公共底边的面为 $\Delta v_1v_2v_3$ 和 $\Delta v_1v_2v_4$ ，删去 e_1^2 ，在面 $S: \Delta v_1v_3v_2v_4v_1$ 中插入结点 u 并添边 $\{e_u^{v_1}, e_u^{v_3}, e_u^{v_2}, e_u^{v_4}\}$ 生成 $k+1$ 点极大平面图 G 。

3) 若 $\deg(u) = 3$

记 u 的邻接结点为 $\{v_1, v_2, v_3\}$ ，添边 $\{e_1^2, e_2^3, e_3^1\}$ ，删去结点 u 得到图 G_1 ，用 G_1 生成 K 点极大平面图 G ；在 G 的面 $\Delta v_1v_2v_3$ 插入结点 u 并添边 $\{e_u^{v_1}, e_u^{v_2}, e_u^{v_3}\}$ 生成 $k+1$ 点极大平面图 G 。

4) 若 $\deg(u) = 4$

对 G_1 中剖分圆 θ_u ，将其圆周结点按逆时针方向排列为 $\{v_1, v_2, v_3, v_4\}$ 并设 $\bar{\deg}(v_1) = \min(\bar{\deg}(v_i) | 1 \leq i \leq 4)$ ，添边 $\{e_1^2, e_2^3, e_3^4, e_4^1\}$ ，删去结点 u 并添边 e_1^3 得到图 G_1 ，用 G_1 生成 k 点极大平面图 G ；在图 G 中删去边 e_1^3 ，在面 $S: v_1v_2v_3v_4v_1$ 中插入结点 u 并添边 $\{e_u^{v_1}, e_u^{v_2}, e_u^{v_3}, e_u^{v_4}\}$ 生成 $k+1$ 点极大平面图 G 。

5) 若 $\deg(u) = 5$

对 G_1 中剖分圆 θ_u ，将其圆周结点按逆时针方向排列为 $\{v_1, v_2, v_3, v_4, v_5\}$ 并设 $\bar{\deg}(v_1) = \min(\bar{\deg}(v_i) | 1 \leq i \leq 5)$ ，添边 $\{e_1^2, e_2^3, e_3^4, e_4^5, e_5^1\}$ ，删去结点 u 并添边 $\{e_1^3, e_1^4\}$ 得到图 G_1 ，用 G_1 生成 k 点极大平面图 G ；在图 G 中删去边 $\{e_1^3, e_1^4\}$ ，在面

S: $v_1v_2v_3v_4v_5v_1$ 中插入结点 u 并添边 $\{e_u^{v_1}, e_u^{v_2}, e_u^{v_3}, e_u^{v_4}, e_u^{v_5}\}$ 生成 $k+1$ 点极大平面图 G .

综述 1)-5), 定理在 $|V_1|=k+1$ 时成立。

定理 2.3 成立。

定义 2.4 设 $G_1=G_1(V_1, E_1)$ 是 n 点极大平面图, $G=G(V, E)$ 是 $n+1$ 点极大平面图, $u \in V$ 且 $3 \leq \deg(u) \leq 5$, 剖分圆 θ_u 中圆周结点按圆周回路的逆时针方向排列为 $\{v_1, v_2, \dots, v_{\deg(u)}\}$ 且 $\bar{\deg}(v_1)=3$. 如果: (1) 删去图 G 中一个度数为 3 的结点 u 可生成图 G_1 , (2) 删去图 G 中一个度数为 4 的结点 u 并添边 e_1^3 可生成图 G_1 , (3) 删去图 G 中一个度数为 5 的结点 u 并添边 $\{e_1^3, e_1^4\}$ 可生成图 G_1 . 则称图 G 是图 G_1 的增生极大平面图。

定理 2.4 任一 n 点极大平面图 $G_1=G_1(V_1, E_1)$ 都存在增生极大平面图 $G=G(V, E)$.

其中, $|V|=|V_1|+1=n+1, n \geq 3$.

证明

(1) 在图 G_1 的任一面 $\Delta v_1v_2v_3$ 接入结点 u 并添边 $\{e_u^{v_1}, e_u^{v_2}, e_u^{v_3}\}$ 可生成增生极大平面图 G .

(2) 删去图 G_1 中面 $\Delta v_1v_2v_3$ 和面 $\Delta v_1v_3v_4$ 的公共底边 e_1^3 , 在面 S: $v_1v_2v_3v_4$ 中插入结点 u 并添边 $\{e_u^{v_1}, e_u^{v_2}, e_u^{v_3}, e_u^{v_4}\}$, 在 $n > 3$ 时, 可生成增生极大平面图 G .

(3) 删去图 G_1 中任一剖分圆 θ_w ($\deg(w) \geq 4$) 中边 $\{e_w^{v_1}, e_w^{v_2}\}$, 在面 S: $v_1v_2v_3wv_{\deg(w)}v_1$ 中插入结点 u 并添边 $\{e_u^{v_1}, e_u^{v_2}, e_u^{v_3}, e_u^w, e_u^{v_{\deg(w)}}\}$, 在 $n > 4$ 时,

可生成增生极大平面图 G .

定理 2.4 成立。

在 $|V_1| > 5$ 时, G_1 的增生极大平面图 G 存在但不必唯一。

3 平面图的着色数

图 G 的正常着色 (或称相容性着色, 简称着色) 要求图 G 中相邻接结点均着不同颜色。若对图着色至少需要 k 种颜色, 称 K 为图 G 的着色数, 记作 $C(G) = k$.

本文只讨论平面图的着色数。

定义 3.1 设有 $|V|$ 点已着色平面图 $G = G(V, E)$, 着色数 $C(G) = k$, $1 \leq i, j \leq k$, 结点 $u, w \in V$.

(1) 若结点 u 着有第 i 种颜色, 称结点 u 具色值 i , 记作 $C(u) = i$.

(2) 若结点 u 和 w 之间存在简单通路 L 且通路 L 上结点色值交替为 i 和 j , 称结 u 和 w 是 $i \rightarrow j$ 连通的。

(3) 称图 G 中由 $i \rightarrow j$ 连通的结点及其邻接边组成的连通子图 \bar{G} 为图的一个 $i \rightarrow j$ 连通分支 \bar{G} .

(4) 称将图 G 中 $i \rightarrow j$ 连通分支 \bar{G} 中具色值 i 的结点均改为具色值 j 而将具色值 j 的结点均改为具色值 i 的操作为对连通分支 \bar{G} 作 $i \rightarrow j$ 色值对换, 记作

$T(\bar{G}, i \rightarrow j)$, 在 u 为 \bar{G} 中结点且 $C(u) = i$ 时, 记 $T(\bar{G}, i \rightarrow j) = T(u, i \rightarrow j)$.

规定 $T(u, i \rightarrow j)$ 在 $j = i$ 时空操作。

定理 3.1 设有已着色平面图 $G = G(V, E)$, \bar{G} 是图 G 中一个 $i \rightarrow j$ 连通分支。

(1) 色值对换 $T(\bar{G}, i \rightarrow j)$ 不破坏图 G 着色的相容性。

(2) 色值对换 $T(\bar{G}, i \rightarrow j)$ 不改变图 G 的着色数 $C(G)$ 。

(3) 图 G 中子图 G_1 的着色数不大于图 G 的着色数, 即 $C(G_1) \leq C(G)$ 。

(4) 指定图 G 中面 $\Delta v_1 v_2 v_3$ 的边界点的色值 $C(v_1, v_2, v_3)$ 不破坏图 G 着色的相容性且不改变图 G 的着色数 $C(G)$ 。

证明

仅证结论 (4)。

记 $1 \leq r, s, t \leq C(G), r \neq s \neq t$ 。

对结点 v_1, v_2, v_3 依次作色值对换 $T(v_1, C(v_1) \rightarrow r), T(v_2, C(v_2) \rightarrow s), T(v_3, C(v_3) \rightarrow t)$, 可使得 $C(v_1, v_2, v_3) = (r, s, t)$ 。显然, 指定 $C(v_1, v_2, v_3) = (r, s, t)$ 的操作不破坏图 G 着色的相容性且不改变图 G 的着色数 $C(G)$ 。

定理 3.2 $|V|$ ($|V| \geq 3$) 点极大平面图 $G = G(V, E)$ 的着色数 $3 \leq C(G) \leq 4$ 。

证明

设 G 已着色, 用 i ($1 \leq i \leq C(G)$) 表示结点色值。

对图 G 中结点 v_0 , 记其圆周结点按圆周回路 L 逆时针方向排列为 $\{v_1, v_2, \dots, v_{deg(v_0)}\}$, 且设 $\bar{deg}(v_1) = 3$ 。由定理 2.4, 对图 G 结点个数 $|V|$ 用数学归纳法的反向归纳法证明。

(1) 在 $|V| = 3$ 及 $|V| = 4$ 时定理显然成立。在 $|V| = 5$ 时 (见图 2.1.(1) 及图

2.1.(2)), 有 $C(v_0, v_1, v_2, v_3, v_4) = (1, 2, 3, 2, 4)$, $C(G) = 4$. 在 $|V|=6$ 时, 对图 2.2.(1)所示图 G_3 , 有 $C(v_0, v_1, v_2, v_3, v_4, v_5) = (1, 2, 3, 2, 3, 1)$, $C(G_3)=3$; 对图 2.2.(2)所示图 G_4 , 有 $C(v_0, v_1, v_2, v_3, v_4, v_5) = (1, 2, 3, 2, 3, 4)$, $C(G_4) = 4$. 在 $3 \leq |V| \leq 6$ 时定理 3.2 成立。

(2) 设 $|V| = n + 1$ 时定理 3.2 成立。

(3) 当 $|V| = n$ 时

任取图 G 中度数最小的结点 v_0 , $3 \leq \deg(v_0) \leq 5$. 分三种情况讨论。

1) 若 $\deg(v_0)=3$

删去图 G 中结点 v_0 得到 n 点极大平面图 G_1 , 有 $3 \leq C(G_1) \leq C(G) \leq 4$.

2) 若 $\deg(v_0)=4$

指定 $C(v_0, v_1, v_2) = (1, 2, 3)$; 记录数据 $\{\bar{\deg}(v_i) \mid i=1, 2, 3, 4\}$; 删去结点 v_0 得到图 $G_1 = G - \{v_0\}$; 注意到 $\bar{\deg}(v_1) = 3$, 依据 $C(v_3, v_4)$ 的 3 种可能情形, 对图 $G_1 = G - \{v_0\}$ 分别作如下处理

① $C(v_3, v_4) = (2, 3)$: 若 v_1 和 v_3 不是 $2 \rightarrow 1$ 连通的, 作 $T(v_1, 2 \rightarrow 1)$ 色值对换并添边 e_1^3 得到 n 点极大平面图 G_1 , 有 $3 \leq C(G_1) = C(G) \leq 4$; 若 v_1 和 v_3 是 $2 \rightarrow 1$ 连通的, 作 $T(v_4, 3 \rightarrow 4)$ 色值对换并添边 e_2^4 得到 n 点极大平面图 G_1 , 有

$C(G_1) = 4$.

② $C(v_3, v_4) = (2, 4)$: 若 $\bar{\deg}(v_4) = 3$, 添边 e_2^4 得到 n 点极大平面图 G_1 , 有 $3 \leq C(G_1) \leq C(G) = 4$; 若 $\bar{\deg}(v_4) = 4$, 作 $T(v_1, 2 \rightarrow 1)$ 色值对换并添边 e_1^3 得到 n 点极大平面图 G_1 , 有 $C(G_1) = 4$

③ $C(v_3, v_4) = (4, 3)$: 因为 $\bar{\deg}(v_1) = 3$, v_1 和 v_3 不相邻接, 添边 e_1^3 得到 n 点极大平面图 G_1 , 有 $3 \leq C(G_1) \leq C(G) = 4$.

3) 若 $\deg(v_0) = 5$

指定 $C(v_0, v_1, v_2) = (1, 2, 3)$; 记录数据 $(\bar{\deg}(v_i) | i = 1, 2, 3, 4, 5)$; 删去结点 v_0 ; 注意到 $\bar{\deg}(v_1) = 3$, 依据 (v_3, v_4, v_5) 的 5 种可能情形, 对图 $G_1 = G - \{v_0\}$ 分别作如下处理

① $C(v_3, v_4, v_5) = (2, 3, 4)$: 若 $\bar{\deg}(v_5) = 3$, 添边 $\{e_2^5, e_3^5\}$ 得到 n 点极大平面图 G_1 , 有 $3 \leq C(G_1) \leq C(G) = 4$; 若 $\bar{\deg}(v_5) = 4$ 且 $\bar{\deg}(v_2) = 4$, 作 $T(v_1, 2 \rightarrow 1)$ 色值对换并添边 $\{e_1^3, e_1^4\}$ 得到 n 点极大平面图 G_1 , 有 $C(G_1) = 4$; 若 $\bar{\deg}(v_5) = 4$ 且 $\bar{\deg}(v_3) = 4$, 作 $T(v_2, 3 \rightarrow 1)$ 色值对换并添边 $\{e_2^4, e_2^5\}$ 得到 n 点极大平面图 G_1 , 有 $C(G_1) = 4$; 若 $\bar{\deg}(v_5) = 5$, 作 $T(v_1, 2 \rightarrow 1)$ 色值对换并添边 $\{e_1^3, e_1^4\}$ 得到 n 点极大平面图 G_1 , 有 $C(G_1) = 4$.

② $C(v_3, v_4, v_5) = (2, 4, 3)$: 因为 $\bar{\deg}(v_1) = 3$, 所以 $\bar{\deg}(v_4) = 3$ 或者 $\bar{\deg}(v_4) = 4$; 若 $\bar{\deg}(v_4) = 3$, 添边 $\{e_1^4, e_2^4\}$ 得到 n 点极大平面图 G_1 , 有 $3 \leq C(G_1) \leq C(G) = 4$; 若 $\bar{\deg}(v_4) = 4$, 则 G_1 中存在边 e_2^4 , 作 $T(v_1, 2 \rightarrow 1)$ 色值对换并添边 $\{e_1^3, e_1^4\}$ 得到 n 点极大平面图 G_1 , 有 $C(G_1) = 4$.

③ $C(v_3, v_4, v_5) = (4, 2, 3)$: 若 $\bar{\deg}(v_3) = 3$, 添边 $\{e_1^3, e_3^5\}$ 得到 n 点极大平面图 G_1 , 有 $3 \leq C(G_1) \leq C(G) = 4$; 若 $\bar{\deg}(v_3) = 4$, 存在边 e_3^5 , 作 $T(v_1, 2 \rightarrow 1)$ 色值对换并添边 $\{e_1^3, e_1^4\}$ 得到 n 点极大平面图 G_1 , 有 $C(G_1) = 4$. (因 $\bar{\deg}(v_1) = 3$, 故 $\bar{\deg}(v_3) \neq 5$). 已约定 $\bar{\deg}(v_1) = 3$.

④ $C(v_3, v_4, v_5) = (4, 2, 4)$: 若 $\bar{\deg}(v_2) = 3$, 添边 $\{e_2^4, e_2^5\}$ 得到 n 点极大平面图 G_1 , 有 $3 \leq C(G_1) \leq C(G) = 4$; 若 $\bar{\deg}(v_2) = 4$ 且 $\bar{\deg}(v_4) = 4$ 作 $T(v_3, 4 \rightarrow 1)$ 色值对换并添边 $\{e_1^3, e_3^5\}$ 得到 n 点极大平面图 G_1 , 有 $C(G_1) = 4$; 若 $\bar{\deg}(v_2) = 4$ 且

$\bar{\deg}(v_5)=4$, 作 $T(v_1, 2 \rightarrow 1)$ 色值对换并添边 $\{e_1^3, e_1^4\}$ 得到 n 点极大平面图 G_1 , 有 $C(G_1)=4$; 若 $\bar{\deg}(v_2)=5$, 作 $T(v_1, 2 \rightarrow 1)$ 色值对换并添边 $\{e_1^3, e_1^4\}$ 得到 n 点极大平面图 G_1 , 有 $C(G_1)=4$.

⑤ $C(v_3, v_4, v_5)=(4, 3, 4)$: 因为 $\bar{\deg}(v_1)=3$, 添边 $\{e_1^3, e_1^4\}$ 得到 n 点极大平面图 G_1 , 有 $3 \leq C(G_1) \leq C(G)=4$. 综述①~⑤, 定理在 $\bar{\deg}(v_0)=5$ 时成立。综述 1) ~ 3), n 点极大平面图 G 的着色数 $C(G)$ 满足条件 $3 \leq C(G) \leq 4$.

定理 3.2 成立。

定理 3.3 (平面图四色定理) $|V|$ ($|V| \geq 2$) 点简单有限连通平面图 $G = G(V, E)$ 的着色数 $C(G)$ 满足 $2 \leq C(G) \leq 4$.

证明

对无回路的连通图 G (树 G), 有 $C(G)=2$. 当 $2 \leq |V| \leq 4$ 时结论自然成立。

设 $|V| > 4$. 由定理 2.3, 任一 $|V|$ ($|V| \geq 3$) 点连通平面图 $G = G(V, E)$ 都可以生成一个 $|V|$ 点极大平面图 $G_1 = G_1(V_1, E_1)$; 由定理 3.2, 任一 $|V|$ ($|V| \geq 3$) 点极大平面图 $G_1 = G_1(V_1, E_1)$ 的着色数 $C(G_1)$ 满足条件 $3 \leq C(G_1) \leq 4$. 在 $|V|$ 点连通平面图 G 的生成极大平面图 G_1 中删去若干条边得到图 G , 显然有 $C(G) \leq C(G_1)$. 所以, $2 \leq C(G) \leq 4$.

定理 3.3 成立。

对于非连通平面图 G , 因为 G 中每一个连通分支 \bar{G} 的着色数 $C(\bar{G})$ 有 $1 \leq C(\bar{G}) \leq 4$, 所以非连通平面图 G 的着色数 $C(G)$ 仍满足 $1 \leq C(G) \leq 4$. 可以证明, 在有奇数度圆心结点 v_0 完形剖分圆 θv_0 的平面图 G 中, $C(G)=4$.

参考文献（须规范化和添加文献）

1. 现代图论 Modern Graph Theory
2. 图论导引 Introduction to Graph Theory.
3. 离散数学（美）伊利诺伊州立大学 约翰·A·多西等
4. 左孝凌、李为鉴、刘永才 编著 离散数学，上海科学技术文献出版社，1988 年 11 月版。
5. 华罗庚 数学归纳法 科学出版社 2004 年 2 月版

Topological Structure and Chromatic Number for Plane Graph

Abstract: This paper defines the dissecting circular subgraph of a planar graph, the spanning subgraph of a maximal planar graph, and the $n+1$ -vertex augmented maximal planar graph of an n -vertex maximal planar graph. The topological structure of planar graphs is analyzed. Using mathematical induction, it is proven that any planar graph with n vertices ($n \geq 3$) can generate an n -vertex maximal planar graph. Reverse induction is employed to prove that the chromatic number of an n -vertex maximal planar graph ($n \geq 3$) is not less than 3 and not greater than 4. Finally, a non-human-computer collaborative proof method for the four-color theorem is presented.

Key Words: planar graph, dissecting circle, maximal planar graph, spanning subgraph, augmented maximal planar graph, mathematical induction, four-color theorem